

### 3.2.1 The viscous time scale

(3.6) を F' わかりやすくす。

変数変換

$$X \equiv 2 r^{1/2} \quad (3.7)$$

$$f \equiv \frac{3}{2} \sum X \quad (3.8)$$

$$v = \text{const} \quad \text{を仮定}$$

$$\frac{\partial}{\partial r} = r^{-\frac{1}{2}} \frac{\partial}{\partial X} \quad \text{F'}$$

(3.6) 右辺は

$$\begin{aligned} v \cdot \frac{3}{r} \cdot r^{-\frac{1}{2}} \frac{\partial}{\partial X} \left[ r^{\frac{1}{2}} \cdot r^{-\frac{1}{2}} \frac{\partial}{\partial X} \left( \frac{1}{2} \sum X \right) \right] \\ = \frac{v}{r^{\frac{3}{2}}} \frac{\partial^2}{\partial X^2} \left( \frac{3}{2} \sum X \right) \\ = \frac{8v}{X^3} \frac{\partial^2 f}{\partial X^2} \end{aligned}$$

$$\text{また, } \frac{\partial \sum}{\partial t} = \frac{2}{3} \times \frac{1}{X} \frac{\partial f}{\partial t}$$

$$\text{F' } \frac{\partial f}{\partial t} = D \frac{\partial^2 f}{\partial X^2} \quad (3.9)$$

拡散方程式

$$D = \frac{12v}{X^2} : \text{拡散係数}$$

$\sum(r, t)$  の進化は、拡散方程式の形で表される。

粒子濃度  $c$   
分子運動  $v$   
拡散係数  $D$

分子運動  $v$   
拡散係数  $D$

拡散方程式

$$\frac{\partial c}{\partial t} = K \frac{\partial^2 c}{\partial X^2}$$

$$K = \frac{(DX)^2}{2at}$$

△t 間に相当する

拡散距離

K: 拡散の厚さ  $a$   
t: 時間

左辺: 物理量  $c$  の時間変化

右辺:  $=$  の  $X$  方向の  
濃度勾配 (の絶対値)

○ time scale  $\tau_v$

スケール  $\frac{(\Delta r)}{\Delta X}$  は  $\Delta r$  の拡散のタイムスケール.

$$\tau_v = \frac{(6X)^2}{D} = \frac{(\Delta X)^4}{12v} = \frac{16(\Delta r)^2}{12v} \sim \frac{(\Delta r)^2}{v}$$

円盤のサイズをとると、全体にわたる  $\Sigma$  の進化  
タイムスケールは、

$$\tau_v \approx \frac{r^2}{v}$$

$\sim$  viscous time scale

銀河から漏れた。

太陽型星周囲の円盤で  $10^6$  yr 程度

accretion decay

vF

Stellar age

### 3.2.2 Solutions to the disk evolution equation

円盤進化の式の、定常状態  $\omega$  の解を求める。

定常状態 ...  $\frac{\partial}{\partial t} = 0$

( $\hookrightarrow$ ) 定常状態  $\omega$  の  $\Sigma(r)$  の profile

$\omega = \omega_{\text{kep}}$  を仮定する。

(3.4) より

$$\frac{\partial}{\partial r} (2\pi r \sum v_r \cdot r^2 \omega) = \frac{\partial G}{\partial r}$$

$$\therefore 2\pi r \sum v_r \cdot r^2 \omega = 2\pi r^3 v \sum \frac{d\omega}{dr} + \text{const} \quad (3.14)$$

$$\text{降着率 } \dot{M} = -2\pi r \sum v_r \text{ です。} (= \rho v_r) \quad \omega = \text{const}$$

$$-\dot{M} \cdot r^2 \omega = 2\pi r^3 v \sum \frac{d\omega}{dr} + \text{const} \quad (3.14) \quad \curvearrowright (\text{剛体回転})$$

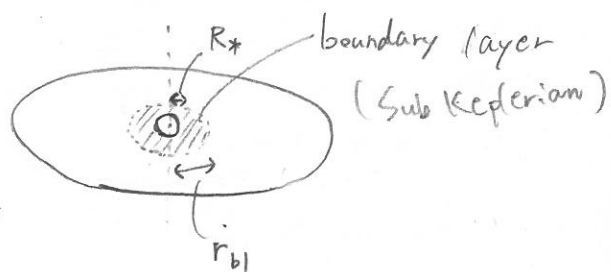
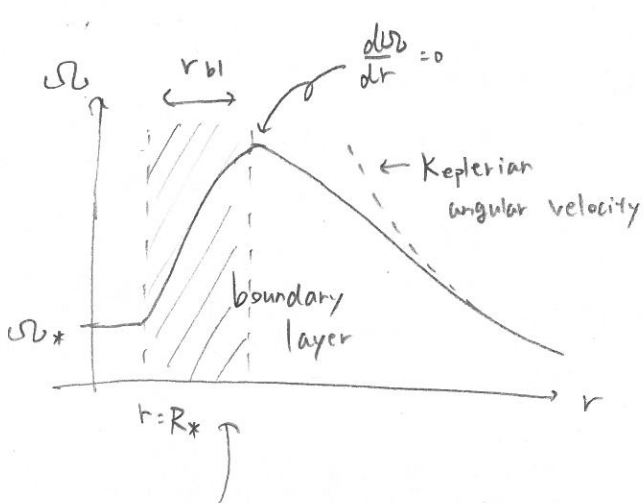
積分定数を決めるために、ある場所で粘性摩擦がない。

$\frac{d\omega}{dr} = 0$  です。すなはち、積分定数は角運動量フラックスと等しくなる。

$$\text{const} = -\dot{M} \cdot r^2 \omega$$

$$(= \rho \cdot r \cdot V_{\text{rot}} \cdot v_r = L v_r)$$

単純な場合として、円盤から中心星の表面まで広がっている場合を考える。



星の表面から円盤まで、△は連続

- 中心星  $r \leq R_*$

$\omega = 0$ 、モリス十分遅く回転

- boundary layer  $R_* < r \leq r_{bl}$  (sub-Keplorian)

viscous stress が消えず、星と Keplerian と円盤との境界層  
角運動量は半径と共に増加

- 円盤  $r > r_{bl}$

粘性摩擦がなければ、Keplerian で回転とする。

半径小さい方が回転が速く。

粘性摩擦で角運動量を外へ輸送しながら、  
中心へ落ちていく。

$$L = \rho \cdot r \cdot v_{rot}$$

$$= \rho r \cdot \sqrt{\frac{GM}{r}} v_{kep}$$

$$\propto r^{0.5}$$

$$v_{kep} \propto r^{-0.5}$$

o boundary layer

boundary layer の物理 (hydrodynamics + magnetohydrodynamics)

→ accretion flow の構造は複雑でよくわからぬといふ。

しかし、 $r \ll r_{\text{in}}$  の場合、星に対して扁平型のモデルが採用され  
提唱された。

磁場と粘性の影響を考慮すると、軸対称の場合の  
(半径)運動方程式は、

$$\frac{v_{\text{gas}}^2}{r} = \frac{GM_*}{r^2} + \frac{1}{\rho} \frac{dp}{dr} + v_r \frac{dv_r}{dr} \quad (3.16)$$

$P$ : 壓力、 $\rho$ : 密度、 $M_*$ : 中心星質量

重力が重力と力を合なす。

$$\frac{1}{\rho} \frac{dp}{dr} \sim \frac{C_s^2}{r_{\text{in}}} \sim \Omega_{\text{in}}^2 r \quad \xrightarrow{\text{次元は } \frac{P}{\rho}} \quad C_s^2 \sim \frac{P}{\rho}$$

$\omega r \sim r_{\text{in}}$

$C_s$ : 音速

$\Omega_{\text{in}}$ : ポーラー角速度

$$25 - 10 \text{ 附近 } h = \frac{C_s}{\Omega_{\text{in}}} \text{ 附近。}$$

$$\frac{r_{\text{in}}}{r} \sim \left( \frac{h}{r} \right)^2 \quad (3.18)$$

boundary layer (disk) は幾何的に薄い。

$$h/r \ll 1, \Rightarrow r_{\text{in}}/r \ll 1$$

したがって boundary layer は十分に薄い。

式 (3.14) は 戻る

(3.14) の

$R_* + r_{\text{in}} \approx R_*$  で表される。積分定数は、

$$\text{const} \approx -\dot{M} R_*^2 \sqrt{\frac{GM_*}{R_*^3}} \quad (3.19)$$

ここで  $\Sigma$  は (3.14) は

$$2\pi r^3 v \sum \frac{dr}{dr} = -\dot{M} \cdot r^2 \Omega - \dot{M} R_*^2 \sqrt{\frac{GM_*}{R_*^3}}$$

と書ける。

$$\Omega = \sqrt{\frac{GM_*}{r^3}} (= \Omega_{\text{kep}})$$

とすると

$$\frac{d\Omega}{dr} = -\frac{3}{2} \sqrt{\frac{GM_*}{r^5}} \quad r^2 \sqrt{\frac{GM_*}{r^3}} = \sqrt{GM_* r}$$

$$-3\pi v \sum \sqrt{GM_* r} = -\dot{M} \cdot r^2 \Omega - \dot{M} R_*^2 \sqrt{\frac{GM_*}{R_*^3}}$$

$$\therefore \Omega \sum = \frac{\dot{M}}{3\pi} \left( 1 - \sqrt{\frac{R_*}{r}} \right) \quad (3.20)$$

viscosity が決まれば、 $\dot{M} = \text{const}$  の円盤の  $\Sigma$  profile が得られる。

$\Sigma(r) \propto v^{-1}$

式 (3.20) は (3.14) 式 1 と等しい。

(3.20) は、円盤の inner edge でトルクがなくなる、という境界条件の下での解。

中心星の表面まで広がる円盤に対して、近似的には正しい。

$\Leftrightarrow$  一般の classical T Tauri stars では、中心星の周囲場は、円盤が中心星表面に届くまでにそれが一般的

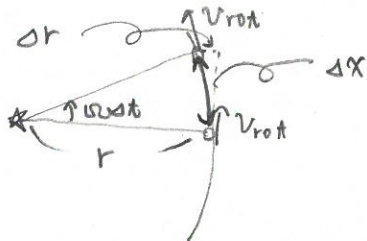
(3.20)  $\dot{\varphi}(t, r) = R \times E$  環  $\Sigma$  の profile  $\rho$  逆転可 (重力なし).

$\rightarrow$  これは Keplerian flow と flow  $\dot{\varphi}$  は  $\nabla \varphi$  を 0 にしたため.

$\Sigma$   $\rho = 0$  ( $\therefore$  なし) 要求する式を示して.

### \* (3.16) の (それいな) 導出 (複習)

そもそも、円運動における  $\frac{\partial v_r}{\partial t} = r \omega v^2$  はなぜか?



微小時間  $\Delta t$  の、radial 方向  $\Delta x$  の変化  $v_r$

$$\Delta x = r \omega \Delta t$$

$$v_r \approx \Delta x / \Delta t (\text{constant})$$

$$= \Delta x \cdot \omega \Delta t$$

$$= r \omega^2 \Delta t^2$$

$r$  の時間変化の時間変化

$$\rightarrow \frac{\partial^2 r}{\partial t^2}$$

$$\frac{\partial r}{\partial t^2} = r \omega^2$$

$$\lim_{\Delta t \rightarrow 0} \approx$$

$$\frac{\partial^2 r}{\partial t^2} = \frac{\partial v_r}{\partial t} = r \omega^2 = r \omega^2 = \frac{v_{rot}^2}{r}$$

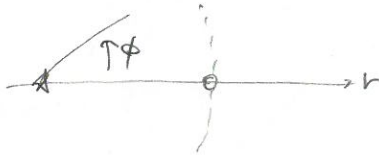
粒子自身立場 (Lagrange)

$$\underbrace{\frac{Dv}{Dt}}_{\sim} = \mathbf{F}_{\text{Grau}} + \frac{1}{\rho} \nabla P$$

$$= \frac{\partial v}{\partial t} + v \cdot \nabla (P/v)$$

2次元軸対称 ( $\perp$  方向のみを考え)

$$\underbrace{\frac{\partial v_r}{\partial t}}_{\text{向心}} + v_r \frac{dv_r}{dr} = - \frac{GM_*}{r^2} + \frac{1}{\rho} \frac{dP}{dr}$$



内向き向外正

$$\frac{v_{rot}^2}{r} = \frac{GM_*}{r^2} + \frac{1}{\rho} \frac{dP}{dr} + v_r \frac{dv_r}{dr}$$

# ○式(3.6)の時間依存する解析解

$$\frac{\partial \Sigma}{\partial t} = \frac{3}{F} \frac{\partial}{\partial r} \left[ r^{\frac{1}{2}} \frac{\partial}{\partial r} (\nu \Sigma r^{\frac{1}{2}}) \right] \quad (3.6)$$

円盤進化の式

$\nu$ を簡単な形で仮定。實際は、 $\nu$ は複雑だが、(3.6)の解の  
3.3までを見るとは良し。

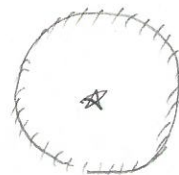
•  $\nu = \text{const}$  (Green's function solution)

仮定 :  $A=0$  で、"L"字状にガスが分布。

どう進化するか

$$\Sigma(r, t=0) = \frac{m}{2\pi r_0} \delta(r - r_0) \quad (3.21)$$

$$\delta(r - r_0) = \begin{cases} 0 & (r \neq r_0) \\ 1 & (r = r_0) \end{cases}$$



Dirac delta function

•  $r=0$  で  $\Sigma \rightarrow 0$  (中心なし)

•  $r = \infty$  で  $\Sigma$  が無限大

$$\Sigma(r, t) = \frac{m}{\pi r_0^2} \cdot \frac{1}{t} \pi^{-\frac{1}{4}} \exp \left[ -\frac{(1+x^2)}{t} \right] I_{\frac{1}{4}} \left( \frac{2x}{t} \right) \quad (3.22)$$

$$x = r/r_0$$

$$t = 12\nu t / r_0^2$$

$I_{\frac{1}{4}}$  : 第1種のBessel function

$$I_l(x) = \sum_{k=0}^{\infty} \frac{(-1)^k}{k! \Gamma(l+k+1)} \left(\frac{x}{2}\right)^{l+2k} \quad (n \neq \text{整数})$$

$$\text{ガーベラ函數} : \Gamma(x) = \int_0^{\infty} e^{-t} t^{x-1} dt \quad n! = \Gamma(n+1)$$

$$U = \int (r) \text{ に対して } (3.6) \text{ は線形}$$

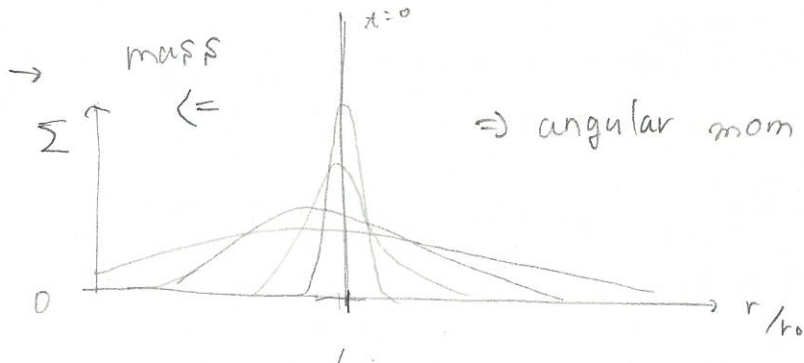
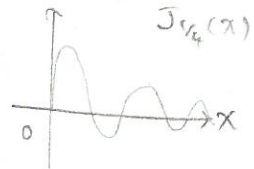
解は (3.22) の重ね合わせで書く。

(3.22) の振る舞い

$$\exp\left(-\frac{(x-x_0)^2}{\tau}\right) \quad \dots \quad x=0 \quad (r=0) \text{ は } t^0 - \tau, \text{ ての増加率も } T_0 \text{ が } \tau$$

$$J_{1/4}\left(\frac{2x}{\tau}\right) \quad \dots \quad 0.7 \sim 0.8 \text{ あたりに } t^0 - \tau, \text{ 振動する。}$$

$\tau$  が増加するほど、周数は大きくなる。



質量は中心へ向かい、"1/4"は拡散していく。

一方で、角運動量は外に運ばれる。

$\Rightarrow$  粘性進化する円盤の一般的な特徴があり、

系で角運動量を保有したまま質量降着が起こることで、これも必ず起る。

$$\cdot \nu \propto r^{\alpha} \quad (\text{self-similar solution}) \quad (3.23)$$

仮定

- $\alpha = 0, \nu$  定常状態解に対応。
- $r = r_1, \nu$  の有効な「cut-off」。exponential で cut-off

$$\Sigma(\alpha=0) = \frac{C}{3\pi\nu, r^{\alpha}} \exp[-r^{(2-\alpha)}] \quad (3.24)$$

C: 規格化定数

$$\tilde{r} = r/r_1$$

$$\nu_1 = \nu(r_1)$$

となる。自己相似解は、

$$\Sigma(\tilde{r}, T) = \frac{C}{3\pi\nu, \tilde{r}^{\alpha}} T^{-(5/2-\alpha)/(2-\alpha)} \exp\left[-\frac{\tilde{r}^{(2-\alpha)}}{T}\right] \quad (3.25)$$

$$T \equiv \frac{t}{A_S} + 1 \quad (3.26)$$

$$A_S \equiv \frac{1}{3(2-\alpha)^2} \frac{r_1^2}{\nu_1} \quad (3.27)$$

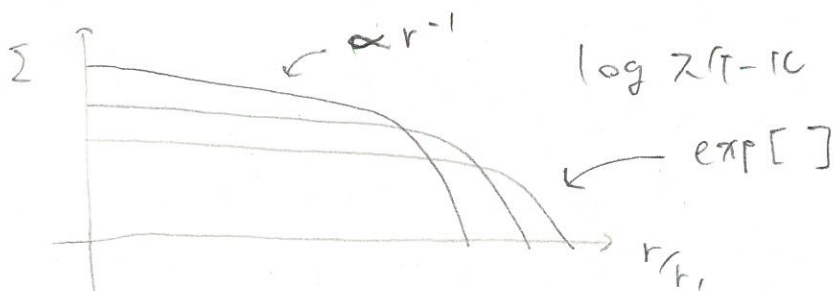
(3.25) の

振舞い

$\exp\left[-\frac{\tilde{r}^{(2-\alpha)}}{T}\right] \cdots \checkmark \alpha=0 (T=1) \vdash T^{1/2}$

$\tilde{r} = \frac{r}{r_1}$  が 1 を超えると指数  $< 0$  (cut-off)

今では  $\tilde{r}^{-\alpha} = \frac{r_1}{r} \propto r^{-1}$



傾きの  
比較

・円盤サイズは進化とともに大きくなる。(角運動量保存のため)